

۱۶ و ۱۷ شهریور ۱۳۹۴ دانشگاه یزد

تخمین غلظت زنون و ساماریوم در یک راکتور هسته‌ای آب تحت فشار با استفاده از روش لیاپانوف

انصاری فر-غلامرضا^{*}، زاهدی یگانه - محمد حسین

دانشگاه اصفهان، دانشکده علوم فناوری‌های نوین، گروه مهندسی هسته‌ای

چکیده:

با توجه به اهمیت سموم زنون و ساماریوم در تغییرات قدرت قلب راکتورهای حرارتی و محاسبات دینامیک راکتور و نیز غیر قابل اندازه گیری بودن غلظت این سموم جاذب نوترون، در این مقاله یک روشی بر اساس مدل سینتیک نقطه‌ای با سه گروه نوترون تأخیری در راکتور و با استفاده از معیار پایداری لیاپانوف بمنظور تخمین غلظت سموم راکتور شامل ساماریوم و زنون طراحی و ارائه میگردد. این روشی علاوه بر تخمین غلظت سموم قادر به تخمین غلظت نیا هسته‌های نوترونیهای تأخیری که اندازه گیری آنها نیز در عمل دشوار است می باشد. نتایج بیانگر تخمین مناسب پارامترهای غیر قابل اندازه گیری و دقت روشی ارائه شده می باشد.

کلمات کلیدی: نوسانات ساماریوم، نوسانات زنون، روشی، معیار لیاپانوف و مدل سینتیک نقطه‌ای.

مقدمه:

سموم جاذب نوترون تولید شده در راکتورهای هسته‌ای به علت ایجاد راکتیویته منفی و تأثیر آنها در نوسانات قدرت راکتور لازم است در طراحی سیگنال کنترلی مورد بررسی قرار گیرند. مهم‌ترین سموم در راکتورهای حرارتی شامل زنون و ساماریوم می باشند که رد عمل نمی توان آنها را به طور مستقیم اندازه گیری نمود؛ لذا لازم است که با طراحی یک روشی مناسب تخمینی از غلظت این سموم در طی فرایند دینامیکی راکتور برآورد نمود. مسئله پایداری زنون اولین بار توسط هیفنر^۱ [1] مطرح شد که در دسامبر ۱۹۵۵ میلادی، نوسانات توزیع محوری شار توسط او مورد بررسی قرار گرفت. اولین آنالیز عددی روی نوسانات زنون در سال ۱۹۵۶ توسط وارد^۲ [2] انجام گرفت. سونگ^۳ [3] با استفاده از معادلات دینامیکی که از معادله پنخس دوگروهی و یک بعدی به دست آمد، نوسانات زنون و توزیع محوری قدرت را با تقریب اولیه سری فوریه، با توجه به قدرت خروجی و شار نوترون و با استفاده از تکنیک‌های ریاضی کاهش خطا، در یک راکتور غیرهمگن حرارتی، تخمین زد. وو^۴ [4] با استفاده از مدل روشی لیونبرگر^۵ روی معادلات خطی سازی شده و

¹ Heafner

² Ward

³ Song

⁴ Woo

⁵ luenberger observer

۱۶ و ۱۷ شهریور ۱۳۹۴ دانشگاه یزد

با در نظر گرفتن فیدبک دمای خنک کننده و قدرت خروجی، یک رژیتر خطی را برای تخمین نوسانات زنون، طراحی کرد. کارچندانی روی بررسی نوسانات و تخمین غلظت ساماریوم انجام نشده است. البته اخیراً مورینا^۶ در مقاله‌ای به بررسی نوسان ساماریوم و راکتیویته حاصل از آن پرداخته است [5] ولی اشاره‌ای به تخمین غلظت آن نشده است. در تحقیق حاضر یک رژیتر مناسب بر اساس مدل سینتیک نقطه‌ای قلب راکتور و با استفاده از معیار پایداری لیاپانوف بمنظور تخمین غلظت سموم راکتور ارائه شده است. که قادر به تخمین غلظت نیا هسته‌های نوترونیهای تأخیری که اندازه گیری آنها نیز در عمل دشوار است می باشد.

روش کار :

قلب راکتور در قالب مدل سه گروهی سینتیک نقطه‌ای با در نظر گرفتن تمام فیدبک ها به صورت زیر مدل سازی می گردد. معادلات نوترونیکی، سه گروهی نوترون تأخیری سینتیک قلب راکتور:

$$\frac{dn_r}{dt} = \frac{\rho - \beta}{l} n_r + \sum_{i=1}^3 \frac{\beta_i}{l} c_{ri} \quad \frac{dc_{ri}}{dt} = \lambda_i n_r - \lambda_i c_{ri} \quad (1)$$

$i = 1, 2, 3$

مدل ترمو هیدرولیکی قلب را به صورت زیر در نظر می گیریم: [6]

$$\frac{dT_c}{dt} = \frac{(1 - f_f) P_0}{\mu_c} n_r + \frac{\Omega}{\mu_c} T_f - \left(\frac{2M + \Omega}{2\mu_c} \right) (2T_c - 290) + \left(\frac{2M - \Omega}{2\mu_c} \right) 290 \quad (2)$$

$$\frac{dT_f}{dt} = \frac{f_f P_0}{\mu_f} n_r - \frac{\Omega}{\mu_f} T_f + \frac{\Omega}{\mu_f} T_c$$

$$T_c = \frac{T_i + T_e}{2}$$

$$T_e = 290$$

معادلات تغییر غلظت سموم و هسته‌های مادر سموم را با توجه به ضابطه های تولید و مصرف هرکدام به صورت زیر در نظر می گیریم. در همین روابط می توان تفاوت آهنگ تولید ساماریوم را با زنون مشاهده نمود که همین ، باعث تفاوت نحوه ی نوسان ساماریوم با زنون می گردد. در ضمن از بهره تولید مستقیم ساماریوم از شکافت صرف نظر شده چراکه بهره ساماریوم ۱۴۹ (ایزوتوپی که سطح مقطع جذب بالای نوترونی دارد) بسیار بسیار اندک می باشد. حدود 1.7×10^{-12} است.

$$\frac{dx}{dt} = \gamma_x \Sigma_f \phi + \lambda_1 I - \sigma_x x \phi - \lambda_x x \quad \frac{dSm}{dt} = \lambda_{pm} Pm - \sigma_{sm} Sm \phi \quad (4)$$

$$\frac{dI}{dt} = \gamma_I \Sigma_f \phi - \lambda_I I \quad \frac{dPm}{dt} = \gamma_{pm} \Sigma_f \phi - \lambda_{pm} Pm$$

راکتیویته ناشی از فیدبک دمای، سموم و میله کنترل به صورت زیر در نظر گرفته می شود:

$$\rho_t = \alpha_f (tf - tf_0) + \alpha c (tc - tc_0) \quad \frac{d\rho_r}{dt} = G_r Z_r \quad \rho_{sm} = - \frac{\sigma_{sm} (Sm - Sm_0)}{\Sigma_f} \quad (5)$$

$$\rho_x = - \frac{\sigma_x (x - x_0)}{\Sigma_f} \quad \rho = \rho_r + \rho_t + \rho_x + \rho_{sm}$$

⁶ Moreira

۱۶ و ۱۷ اسفندماه ۱۳۹۴ دانشگاه یزد

معرفی پارامترها و جدول ضرایب ثابت معادلات:

جدول شماره ۲-مقادیر ضرایب ثابت مورد استفاده		جدول شماره ۱-تعریف علامت گذاری پارامترها و مقادیر آن ها		
پارامتر	مقدار پارامتر	پارامتر	تعریف پارامتر	مقدار پارامتر
Ω	$(\frac{5}{3}n_{r0} + 4.933333)MW \frac{s}{c}$	p_0	حداکثر توان حرارتی راکتور(توان اسمی)	2500MW
α_f	$(n_{r0} - 4.24) \times 10^{-5} \frac{\delta k}{k^{\circ}C}$	G	انرژی تولیدی به ازای هر شکافت	180MeV
α_c	$(-4n_{r0} - 17.3) \times 10^{-5} \frac{\delta k}{k^{\circ}C}$	V	حجم قلب راکتور	$50.24m^3$
f_f	0.92	Σ_f	سطح مقطع ماکروسکوپی جذب شکافا	$0.3358 cm^{-1}$
μ_f	$26.3MW \frac{s}{c}$	λ_x	ثابت واپاشی زنون	$2.1 \times 10^{-5} s^{-1}$
μ_c	$(\frac{160}{9}n_{r0} + 54.022)MW \frac{s}{c}$	λ_i	ثابت واپاشی ید	$2.9e \times 10^{-5} s^{-1}$
l	$2 \times 10^{-5} s$	λ_{pm}	ثابت واپاشی پرومتیوم	$3.6 \times 10^{-6} s^{-1}$
β	0.0065	σ_x	سطح مقطع میکروسکوپی زنون	$3.5 \times 10^{-18} cm^{-1}$
β_1	0.00021	σ_{sm}	سطح مقطع میکروسکوپی ساماریوم	$4.01 \times 10^{-20} cm^{-1}$
β_2	0.00225	γ_x	بهره شکافت زنون	0.003
β_3	0.00404	γ_i	بهره شکافت ید	0.059
λ_1	$0.0124s^{-1}$	γ_{pm}	بهره شکافت پرومتیوم	1.08×10^{-2}
λ_2	$0.0369s^{-1}$	G_r	راکتیویته کل میله کنترل	14.5×10^{-3}
λ_3	$0.632 s^{-1}$	n_{r0}	چگالی نسبی نوترون ها در زمان شروع شبیه سازی	0.80

متغیر قابل اندازه گیری، توان نسبی قلب یعنی n_r می باشد که رابطه آن با توان راکتور به صورت: $p(t) = p_0 n_r(t)$ است.

معادلات زیر را برای تخمین سموم و سه گروه نیا هسته و چگالی نسبی نوترون در نظر می گیریم.

$$\frac{d\hat{n}_r}{dt} = \frac{\hat{p} - \beta}{l} \hat{n}_r + \sum_{i=1}^3 \frac{\beta_i}{l} \hat{c}_{ri} + H_1(n_r - \hat{n}_r) \quad \frac{d\hat{c}_{ri}}{dt} = \lambda_i \hat{n}_r - \lambda_i \hat{c}_{ri} + H_{1+i}(n_r - \hat{n}_r) \quad (5)$$

$$i = 1, 2, 3$$

تخمین چگالی نسبی نوترون برای استفاده در جزء اصلاح گر معادلات رویتگر می باشد.

$$\frac{d\hat{x}}{dt} = \gamma_x \Sigma_f \phi + \lambda_i \hat{I} - \sigma_x \hat{x} \phi - \lambda_x \hat{x} + H_5(n_r - \hat{n}_r) \quad \frac{d\hat{S}m}{dt} = \lambda_{pm} \hat{P}m - \sigma_{sm} \hat{S}m \phi + H_7(n_r - \hat{n}_r) \quad (6)$$

$$\frac{d\hat{I}}{dt} = \gamma_i \Sigma_f \phi - \lambda_i \hat{I} + H_6(n_r - \hat{n}_r) \quad \frac{d\hat{P}m}{dt} = \gamma_{pm} \Sigma_f \phi - \lambda_{pm} \hat{P}m + H_8(n_r - \hat{n}_r)$$

رابطه شار با چگالی نسبی نوترون به صورت $\phi = \frac{P_0}{GV \Sigma_f} n_r$ است.

راکتیویته حاصل از تخمین غلظت سموم به صورت زیر تعریف می شود:

۱۶ و ۱۷ اسفندماه ۱۳۹۴ دانشگاه شهردرود

$$\rho_{\hat{x}} = -\frac{\sigma_x(\hat{x} - x_0)}{\Sigma_f} \quad \rho_{sm} = -\frac{\sigma_{sm}(\hat{Sm} - Sm_0)}{\Sigma_f} \quad (V)$$

$$\hat{\rho} = \rho_r + \rho_t + \rho_x + \rho_{sm}$$

طراحی ضرایب رؤیتگر بر اساس روش لیپانوف: [7]

اگر خطا هارا به صورت روبه‌رو تعریف کنیم:

$$e_i = I - \hat{I} \quad e_n = n_r - \hat{n}_r$$

$$e_{sm} = Sm - \hat{Sm} \quad e_{c_i} = c_i - \hat{c}_i \quad \leftarrow i = 1, 2, 3$$

$$e_{pm} = Pm - \hat{Pm} \quad e_x = x - \hat{x}$$

تابع لیپانوف¹ و مشتق زمانی آن را به صورت زیر تعریف می‌کنیم

$$\dot{v} = \dot{e}_{nr}e_{nr} + \sum_{i=1}^3 \dot{e}_{c_i}e_{c_i} + \dot{e}_xe_x + \dot{e}_Ie_I + \dot{e}_{sm}e_{sm} + \dot{e}_{pm}e_{pm} \quad (9) \quad v = \frac{1}{2}(e_{nr}^2 + \sum_{i=1}^3 e_{c_i}^2 + e_x^2 + e_I^2 + e_{sm}^2 + e_{pm}^2) \quad (10)$$

مشتقات خطاها را به راحتی می‌توان از تفاضل روابط ۶ و ۷ از ۴ به دست آورد.

فقط از ساده‌سازی زیر در نوشتن تفاضل میان راکتیویته‌ها استفاده می‌کنیم.

$$\rho - \hat{\rho} \rightarrow = \frac{-\sigma_x e_x - \sigma_{sm} e_{sm}}{\Sigma_f} \Rightarrow \frac{\rho_{nr} - \rho \hat{n}_r}{l} = \frac{\hat{\rho} e_{nr}}{l} - \frac{\sigma_x e_x + \sigma_{sm} e_{sm}}{\Sigma_f} \hat{n}_r$$

مشتق زمانی تابع لیپانوف بر حسب خطاهای تخمین به صورت زیر استخراج می‌گردد:

$$\dot{v} = \left(-\frac{\sigma_x \hat{n}_r}{\Sigma_f l} - h_5\right) e_{nr} e_x + \left(-\frac{\sigma_{sm} \hat{n}_r}{\Sigma_f l} - h_7\right) e_{nr} e_{sm} + \sum_{i=1}^3 \left(\frac{\beta_i}{l} + (\lambda_i - h_{i+1})\right) e_{nr} e_{c_i}$$

$$- \lambda_i e_{c_i}^2 + (-\sigma_x \phi - \lambda_x) e_x^2 + \lambda_1 e_x e_I - \sigma_{sm} \phi e_{sm}^2 - h_8 e_{nr} e_{pm} - \lambda_1 e_I^2 + \lambda_{pm} e_{sm} e_{pm}$$

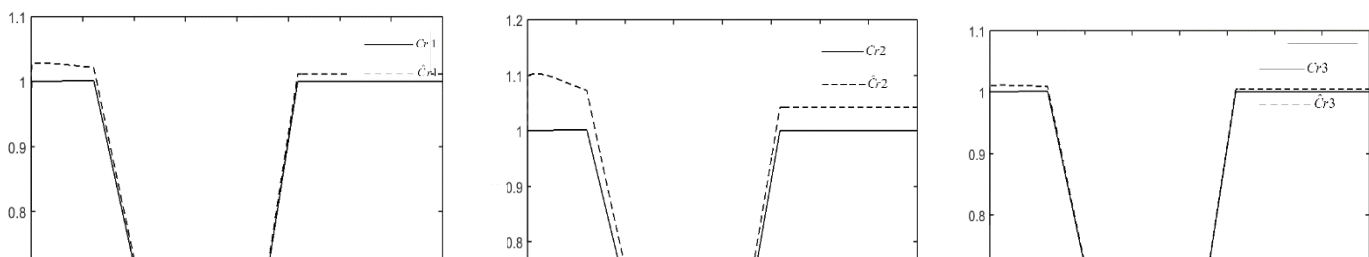
$$+ \left(\frac{\rho_r + \rho_t + \rho_x + \rho_{sm} - \beta}{l} - h_1\right) e_{nr}^2 - \lambda_{pm} e_{pm}^2 - h_6 e_{nr} e_I$$

اینکه مشتق زمانی تابع لیپانوف (\dot{v}) منفی نیمه معین باشد، لازم است شرایط زیر برقرار باشد.

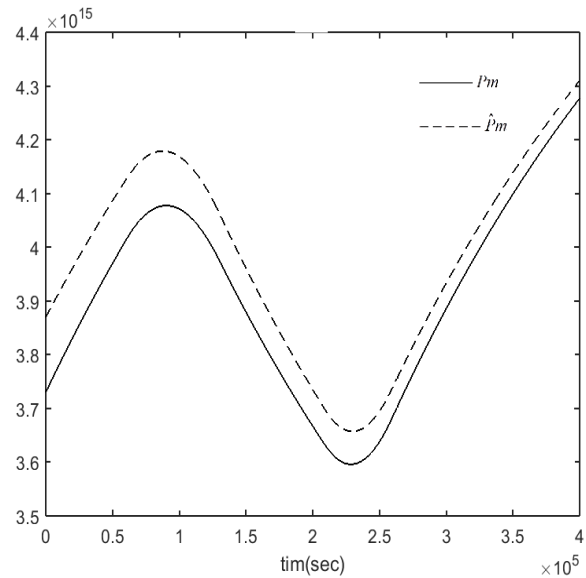
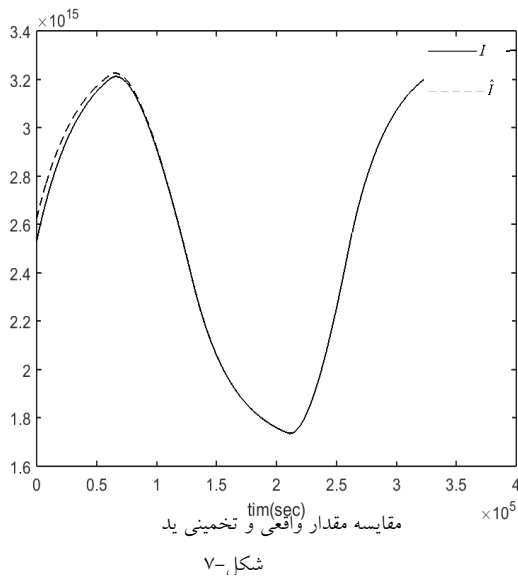
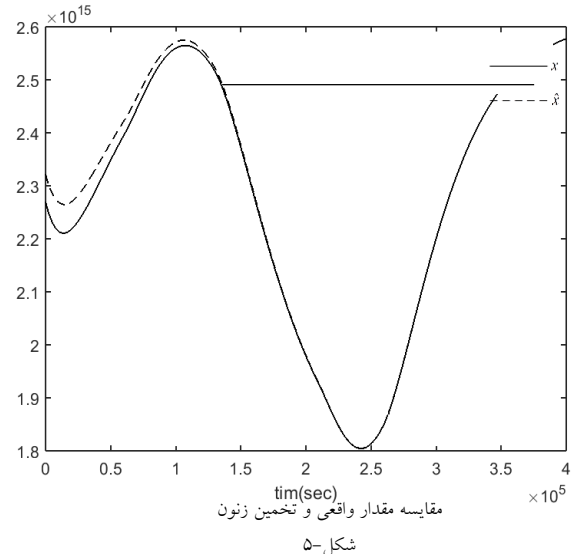
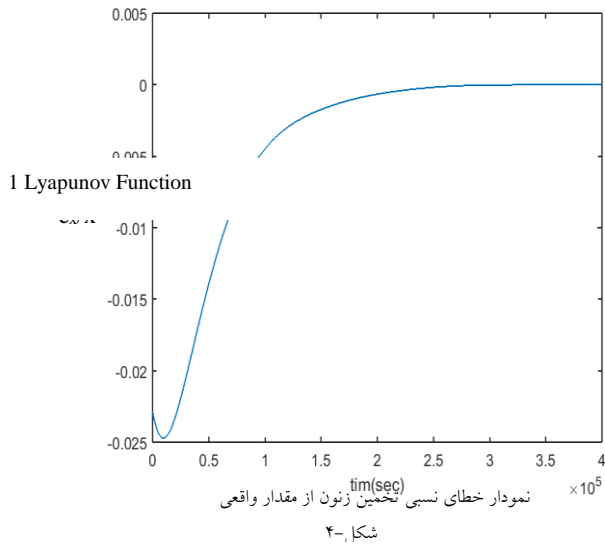
$\frac{\rho_r + \rho_t + \rho_x + \rho_{sm} - \beta}{l} \ll h_1$	$h_5 = \frac{\sigma_x \hat{n}_r}{\Sigma_f l}$	$h_7 = \frac{\sigma_{sm} \hat{n}_r}{\Sigma_f l}$	$h_{i+1} = \frac{\beta_i}{l} + \lambda_i$
$\frac{\lambda_{pm}}{2} \ll \sigma_{sm} \phi$	$-\sigma_x \phi - \lambda_x \ll \frac{\lambda_1}{2}$	$0 < h_6, h_8 \ll 1$	$i = 1, 2, 3$

نتایج:

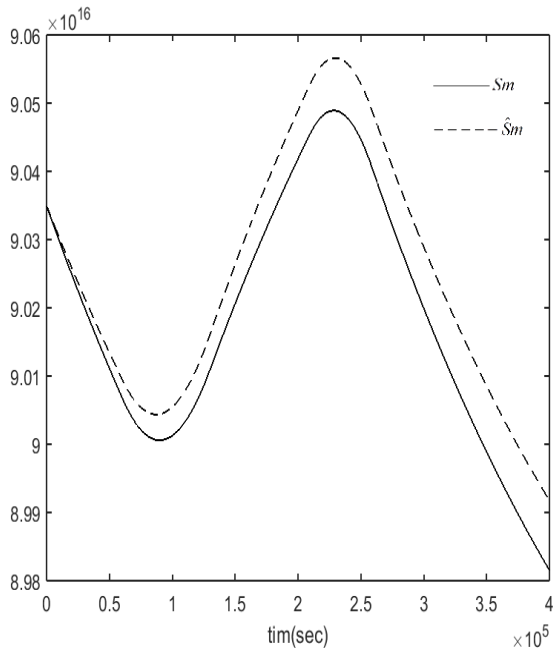
نمودارها برای ۱۰۰ ساعت شبیه‌سازی راکتور، با فرض چگالی نسبی اولیه نوترون برابر هشتاد درصد و یک سیگنال کنترلی برای طی کردن روندی کاهشی از صد درصد توان به توان پنجاه درصد و سپس بازگشت به توان صددرصدی روی راکتور اعمال شده است و در مدل رؤیتگر یک اختلاف اولیه معین از مدل اصلی در نظر گرفته شده است.



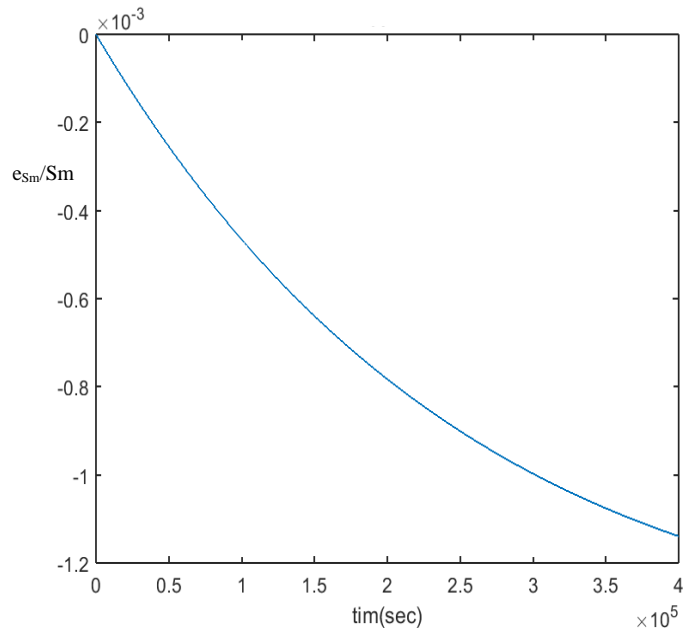
۵ و ۶ اسفندماه ۱۳۹۴ دانشگاه یزد



۱۳۹۴ و ۱۴۰۱ شماره ۱ و ۲



مقایسه مقدار واقعی و تخمین ساماریوم



در این مقاله، خطای هدفی تخمین بار غلظت تعداد پادامه‌های غیر قابل اندازه گیری قلب نظیر سموم جاذب نوترون و نیز چگالی نیا هسته های نوترون تأخیری یک رؤیتگر مناسب و پایدار بر اساس روش لیاپانوف طراحی و ارائه گردید که در بررسی و تحلیل فرایند گذار قدرت و طراحی سامانه های کنترلی مناسب قلب راکتور به علت نیاز به اندازه گیری این متغیرهای غیر قابل اندازه گیری حائز اهمیت می باشد. پایداری رؤیتگر طراحی شده توسط معیار لیاپانوف اثبات گردید و نتایج شبیه سازی ها بیان گر پایداری و عملکرد مطلوب تخمینگر

در پیش بینی غلظت سموم جاذب نوترون و نیز چگالی نیا هسته های نوترون تأخیری می باشد.

مراجع :

- [1] R.R.Heafner, "Flux oscillation caused by Xenon instability," Nucl.Sci.Technol, p. 201, 1956.
- [2] A.G.Ward, "The problem of flux instability in large power reactor," Canadian report CRRP-657, 1956.
- [3] N. J.S.Song, "Analytic modeling of the Xenon oscillation due to control rod movement," Journal of the Korea nuclear society, pp. 80-87, 1999.
- [4] N. H.S.Woo, " Observer theory applied to the optimal control of Xenon concentration in nuclear reactor," Jornal of the Korea nuclear society, vol. 21(2), pp. , 99-110, 1989.



بیست و دومین کنفرانس هسته‌ای ایران



۵ و ۶ اسفندماه ۱۳۹۴ دانشگاه یزد

- [5] O. Moreira, "Analysis of ^{149}Sm time evolution and the reactivity contribution," *Annals of Nuclear Energy*, vol. 83, pp. 87-93, 2015.
- [6] D. Hetrick, *Dynamic of Nuclear Reactor*, The University of Chicago press, 1965.
- [7] Slotine, J.J., "Sliding controller design for non-linear systems, " *Int. J. Control* 40(2),pp 421–434, 1984.